

گزارش علمی از ارزیابی داده‌های

در نقشه‌برداری توپوگرافی ERS-1 SAR

تدوین: **Dowman** - دانشگاه لندن
برگردان: **فاطمه رضیعی (محقق جغرافیایی)**

این گزارش، سازماندهی و مراحل انجام کار توسط گروه GeoSAR و گارگروهی ERS - 1 SAR کاربرد داده‌ها را در نقشه‌برداری شامل می‌شود. گروه GeoSAR مرکب است از دانشمندان و مهندسین جامعه بین‌الملل که با تعاریف، توسعه و عملکرد تهلهات پردازش geocoding داده‌ها با تصویرهای راداری از هوا و مأمورهای فضایی سروکار دارند. این گروه از سال ۱۹۸۷ میلادی تاکنون چهار کارگاه برپا کرده است. آخرین آنها در ماه مه سال ۱۹۹۳ میلادی بود که در آن جلسه کار انجام شده ببروی نست OEEPE / GeoSAR ارایه شد و مورد بحث قرار گرفت. گزارش کار آن جلسه توسط شرکت علوم مشاهدات زمینی در سال ۱۹۹۴ میلادی چاپ شد. سمیناری نیز توسط OEEPE در موسسه ژئودزی IFAG واقع در شهر فرانکفورت برپا شد و نست geocoding و پروژه DEM در OEEPE مدل ارتفاع دیجیتال (DEM) محل نست در اطراف شهر فرانکفورت واقع در کشور آلمان بوده و تصاویر چهار - ۱ ERS - همراه با دو DEM اطلاعات کنتول زمینی قابل ارایه می‌باشد.

بیست سازمان از کشورهای اروپایی و آمریکای شمالی به نست داده‌ها توجه و علاقه نشان دادند. این اطلاعات برای چهارده سازمان مختلف ارسال شد. گزارش‌های برخی از این سازمانها در چهارمین ایستگاه Geo SAR ارایه شد.

این گزارشها اهداف نست را مشخص کرده و داده‌های ارایه شده را تشریح می‌کنند. روشها و نتایج به اختصار درآمده شرکت‌کنندگان و مقالات ضمیمه‌ای، موضوع را به تفصیل بررسی و نقل می‌کنند. در نست به این نتیجه رسیدند که در مقایسه با نقشه‌ها در حالی که حجم اطلاعات مربوط به نقشه‌برداری محدود بوده، می‌توان از Geocoding دقت بالایی به دست آوردن.

(۱) سایقه (پیش‌زمینه):
(۱-۱) سازمان:

- رادار انتقال دهنده، یک پالس انرژی الکترومغناطیسی را با زاویه انتظار θ به سمت زمین می‌فرستد.
- موجها از سطوح پخش می‌شوند که به آن برخورد می‌کنند.

ارتفاع، به آتن بسیار بزرگی نیاز خواهد بود. رادار SAR از آتن بزرگ شبیه‌سازی شده، استفاده می‌کند. از این رو رادار (درویجه مصنوعی) خوانده می‌شود.

رادار SAR و رادار SLAR هر دو دارای تئوری هندسی پیکانی هستند (به نگاره ۱-۱ نگاه کنید). وضوح تصویر راداری در مورد دامنه و آزمیوت متفاوت بوده و با طول پالس و عرض شعاع آتن تعیین می‌شود. طول پالس، ابعاد المان نمونه برداری زمین از تراک سفینه فضایی را در جهت دامنه کنترل می‌کند و عرض آتن، اندازه ایمان نمونه برداری زمین در طول تراک سفینه در جهت آزمیوت را کنترل می‌کند. وضوح در دامنه انحراف R_r برابر است با یک دوم طول پالس انتقال یافته.

$$R_r = \frac{c}{2}$$

در حالیکه α نسبت (ترخ) پالس و C سرعت انتشار موج رادار است، عرض آتن، وضوح فضایی در جهت آزمیوت (azimuth) را تعیین می‌کند. با بیرون زدن شعاع از آتن، وضوح فضایی با افزایش فاصله زمین کاهش می‌یابد. این وضوح در جهت ($R\alpha$) از معادله زیر به دست می‌آید:

$$R\alpha = \frac{\lambda R}{D}$$

در حالیکه R طول موج سیگنال، R دامنه انحراف و D عرض آتن است. برای بهبود وضوح فضایی، یا باید عرض شعاعها افزایش بپداکند و یا باید طول موج به کار رفته کاهش زیادی بپداکند. که این کار غیر عملی است، زیرا میکروویوها را نسبت به تأثیرات جویی مثل ابرهای بارانی حساس می‌کند و یا باید طول آتن افزایش زیادی بپداکند که این کار باعث خطوط هوایی می‌شود. از این رو آتن واقعی (SLAR) به آتن SAR تبدیل می‌شود.

خواص هندسی تصویرهای راداری را بسطه کنم با خواص Spot عکسبرداری هوایی یا تصویرهای به دست آمده از ماهواره‌هایی مثل دارند. در سیستم راداری، دامنه اندازه گیری شده در سطح پیش‌بینی می‌شود (نگاره ۱-۲۸).

چرخش سنجنده (sensor) هیچ تأثیری بر دامنه ندارد - به شکلی که خم شدن، بر تصویر هوایی و چگونگی اعوجاج تأثیر می‌گذارد. البته تأثیر عوارض زمین بر وضعیت اشیاء قابل توجه است.

● سه نوع انحراف در اثر اختلاف ارتفاع به وجود می‌آید:

- Foreshortening : دامنه انحراف SAR نسبت به سطح

زمین باعث جایه جایی شی می‌شود (نگاره ۱-۲۹).

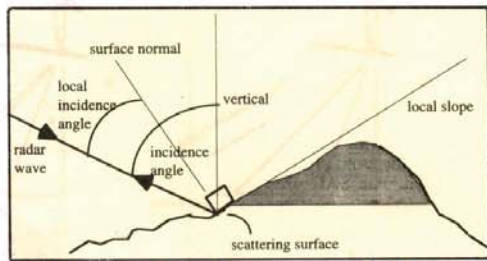
عوارض بلند در تصویر SAR از وضعیت صحیح خود جایه جای می‌شوند به شکلی که بالای شی نزدیکتر از پایین آن به نظر می‌آید.

- Layover : یکی از حالات شدید کوتاه شدنی است، که در آن زاویه شبیب بیشتر از زاویه Nadir (θ) OFF است (نگاره ۱-۲۰).

عوارض معکوس می‌شوند.

SAR - شاید اطلاعات پنهان در تصویربرداری

- پرتو پخش شده، به عقب بازتابیده شده و به وسیله سیستم راداری کشف می‌شود و نیز دامنه انحراف در تأخیر زمانی میان انتقال و بازتابش را تشریح می‌کند.



نگاره ۱-۱) شکل هندسی پرتو رادار با سطح موجی شکل را نشان می‌دهد.

داده‌های راداری نسبت به انواع سیستم تصویربرداری مثل داده‌های scanner قابل رویت حرارتی و ماروون قرمز با عکسبرداری هوایی چندین مزیت دارند. مزیت اصلی آن است که سنجنده‌های (sensor) راداری منظم، تصویربرداری را انجام دهند. طول موجهای رادار جذب ابرها نمی‌شوند و می‌توان از آنها برای کشف عوارض سطحی استفاده کرد. سنجنده‌های (sensor) راداری می‌توانند در روز یا شب و یا حتی به هنگام مه، باران، ابرهای برفزا و دود تصویربرداری کنند. البته معايیت نیز در مورد داده‌های رادار SAR وجود دارد که اصلی‌ترین آنها مشکل بودن تغییر داده‌ها به واسطه روند تکوین تصویر است. همچنین انحراف هندسی فناوری‌ای نیز وجود دارد که کار تغییر را مشکل‌تر ساخته و اصلاح هندسی در نواحی مرتفع را ضروری می‌سازد.

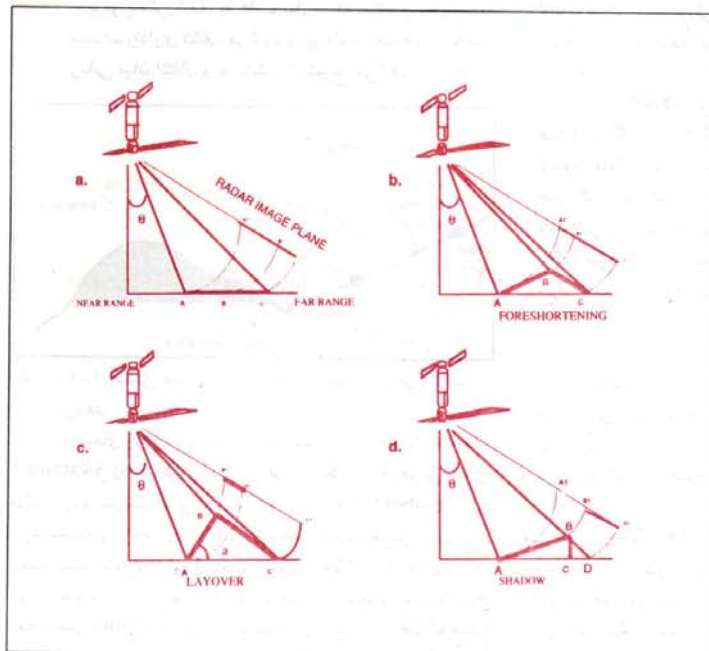
سیگنال راداری، اطلاعات رنگ (به دست آمده از سنجنده‌های (sensor) طول موج نوری) با اطلاعات دما (به دست آمده از سنجنده‌های (sensor) مادون قرمز حرارتی) را تشخیص نمی‌دهد. اما بازتابش بازی بر سطح، شب و قابلیت حدایت الکترونیکی آن در ارتباط است. جزیبات مربوط به خصوصیات رادار SAR و رامنای اطلاعات را می‌توانید در مقاله Kelfer , Lillesand (سال ۱۹۹۴ میلادی) بیایید.

● دو نوع سنجنده (sensor) راداری وجود دارند:

- SLAR (Radar looking Air born) : سمت انتقال اشاره داشته و سیگنال را دریافت می‌کند.

- Synthetic Aperture SAR (Radar SAR) : که برای استفاده از سفینه فضایی تغییر یافته است.

رادار SAR از حرکت سفینه به هنگام انتقال پالسهای متغیر، از یک آتن بلند استفاده می‌کند. اختلاف اصلی میان رادار SLAR و رادار SAR در این حقیقت نهفته است که برای نیل به وضوح فضایی قابل قبول از



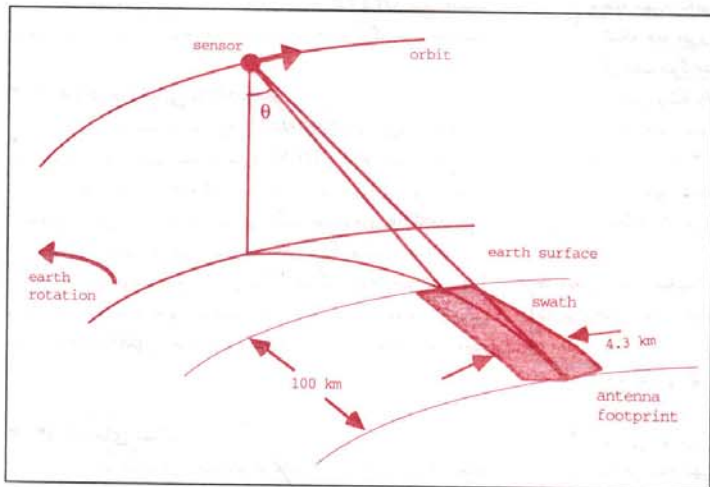
تغییر کرده است. ERS-1 دارای سنجنده تصویر، ابزار میکروویو فعال (AMI) است و در باند C به صورت رادار SAR یا Wave-Scatterometer صورت همزمان با wind-scatterometer کار می کند. عمدتاً برای مشاهدات اقیانوسی و مشخص کردن وضعیت پوچها مورد استفاده قرار می گیرد. این ابزار عملی در روز ۲۷ ماه ژوئیه سال ۱۹۹۱ میلادی فعال شد و از آن زمان تاکنون در حالت درستی کار کرده است. مقادیر زیادی اطلاعات برای تجزیه و تحلیل بعدی و پردازش آنی جمع آوری کرده است. "ESA" ماهواره دوم ERS-Z را در ماه آوریل سال ۱۹۹۵ میلادی به فضا فرستاد و تداوم مشاهده از راه دور را تضمین کرد.

SAR با پسخون فضایی $30 \times 30\text{ m}$ در حالت تصویربرداری محدوده ای به عرض 100 km کیلومتر و در سمت راست مدار و در زاویه θ برابر 23° درجه در (mid-swath) را می پیماید. نگاره (۱-۳)

هنده تصویربرداری:
رادار پخش میکروویو طیف الکترومغناطیسی با فرکانس $5/3$ (طول موج حدود $5/6\text{ cm}$) را حسن می کند که باند C است. ویژگیهای ابزار میکروویو فعال ۱ در جدول (۱) آورده شده اند.

است. نواحی سایه زمانی در تصویر رادار بروز می کنند که شبب زمین بیشتر از شبب شعاع راداری است. از این رو زمین به وسیله رادار دیده نمی شود (نگاره ۱-۲). هنده SAR می دهد تا اطلاعات توپوگرافیک از تصویر گرفته شود. اما لازم است که در اقباس اطلاعات کارتونگرافیک اصلاحات دقیقاً اعمال شود. خطای ناشی از ارتفاع زمین، سرعت سکو، اختلافات ارتفاع و راشن به وسیله Geocoding اصلاح می شود. هدف تصویربرداری SAR، انتقال داده های دامنه انحراف اصلاح نشده به نقشه استاندارد پیش بینی شده با خطاهای ایجاد شده تو سطح خذف ارتفاع و پرخانیدن است، به صورتی که شمال با مرزهای سیستم نقشه استاندارد هم سو شود. شیوه های sub - pixel geocoding دقت geocoding فراورده geocoding را به دست می دهند. می توان نواحی تحت تأثیر سایه را از DEM و اطلاعات مداری را (در طول geocoding پیش بینی کرد).

۱-۳ ویژگیهای ماهواره ERS-1:
ماهواره ERS-1 به وسیله موسسه فضایی اروپا "ESA" در روز هفدهم ماه ژوئیه سال ۱۹۹۱ میلادی به فضا پرتاب شد. ماهواره در مدار sun-synchronous و در ارتفاع میانگین 780 km کیلومتر و سیکل نکاری ۳ روز به گردش درآمد. البته سیکل نکار در مراحلی در طول عمر ماهواره



ارتفاع دیجیتالی) یا geocoding (نها اصلاح تأثیرات انحصار زمین) را دارند. سیستم geocoding به کار رفته باید قابلیت معترسازی نشایع تصویر geocoding را داشته باشد.

● فاز دو با نسبت دقت تصویر geocoded و کاربرد آن برای نقشه برداری سروکار دارد. از سازمانهای مربوطه خواسته شده تا در این فاز از تست شرکت کنند.

تست پاکمک بسیار زیاد ESA انجام شد و با انتشار داده‌ها توسط موافق بود. زیرا که DLR داده‌ها را جمع آوری و توزیع کرده و در تست شرکت کرده بود.

بیست سازمان به این تست توجه نشان دادند. هیجده سازمان با مشارکت در آن موافق بودند. دو سازمان خواستار نظارت بودند و دو سازمان تنها خواستار مشارکت در فاز دو بودند. انجام این گزارش نشایع همکاری ده سازمان را دربر می‌گیرد که در گزارش نهایی شرکت کرده بودند.

(۳) تشریح تست geocoding فاز اول (۳-۱)

تصویری دقیق در دامنه انحراف و در مراکزی توزیع شده که می‌توانستند ظرفیت geocoding را نشان دهند. البته این ظرفیت شامل geocoding زمین نمی‌شد؛ زیرا بیضوی نیز باید ارزیابی شده و امکان مشارکت مراکز بیشتری را فراهم کند. نقشه‌های توبوگرافیک محدوده تست و تعدادی از نقاط کنترل زمینی به دست آمده از مساحی زمین نیز به مراکز داده شد. از هر مرکز شرکت کنند خواسته شد تا یک تصویر geocoded از محل تست نهیه کرده و ارزیکسری پارامترهای ثابت استفاده نموده و سپس این تصویر را پرسوهای تست خود معترساز.

دوره هشتم، شماره بیست و نهم / ۳۳

Technical parameters of ERS-1

flight altitude	783 km
orbital inclination	98°
wavelength	5.6 cm in C-band
incident angle	23°
spatial resolution	
range	<33 m
azimuth	<30 m
radiometric resolution	16 bits per pixel
scene size	100 x 100 km
geographic limitation	poles
coverage cycle	3, 35, 176 days

جدول (۱-۱)

(۲) اهداف و سازمان تست

تست geocoding دو هدف دارد، اولاً ارزیابی پتانسیل تولید داده‌های geocoding و نایابی «ارزیابی دقت آن داده‌ها و کارایی آنها در نقشه برداری، اصلاح نقشه، نهیه و بررسی داده‌های اصلی». تست به دو بخش تقسیم می‌شود:

- فاز یک با geocoding داده‌های SAR و سازمانهای سروکار دارند که قابلیت انجام geocoding زمینی (اصلاح تأثیرات ارتفاع با مدل

منطقه شهر فرانکفورت در Gausse
با شبکه چهل متري اين دادهها از منحنیهای اندازه گیری شده منطقه
و در قالب فنرگرامتری نمایه شد - داده های ارزیابی ETOPO 5

ارایه شده توپوگرافی NOAA

- پارامترهای بیضوی WG 584

- نقشه ۱:۲۰۰۰۰ منطقه

- نقشه توپوگرافیک ۱:۵۰۰۰۰ منطقه از 40 DEM

- نقاط کنترل زمینی

● محل تست تغییرات عوارض زمین را در برداشت که کاربری های زیر را شامل می شد:

- زمین ناهموار، کوهها، دشت

- جنگلها و پارکها

- آهای سطحی (رودخانه ها و کانالها)

- نواحی شهری با تراکم بالا

- نواحی نیمه شهری با تراکم مابین و خانه های مسکونی

- نواحی تولیدی و صنعتی

- فروگاه

- جاده های اصلی و فرعی

(۴) روشهای geocoding

۴-۱ اصول کلی geocoding

رادار SAR پالسی را انتقال می دهد که از زمین منعکس شده و توپوگرافیهای دریافت می شود و به جهت محاسبه زمان صرف شده در رفت و برگشت نسبت نجندۀ تأثیرگذاری می شود. مورد استفاده قرار می گیرد. زمان انتقال پالس، با توجه به زمان شروع، وضعیت آزمیوت (Azimuth) را به دست می دهد. به منظور افزایش وضوح، یک chirp به پالس اضافه شده و فیلترگذاری هماهنگ در پردازشگر، مطبق با عملکرد متابی انعام می شود. میتوان از azimuth, range و slant range از مقدار سیگنال دریافتی (برگشتی) ماهواره را بررسی زمین مشخص کرد:

تصویر در مقایسه با نقشه برداری دارای انحراف و اعوجاج خواهد بود. زیرا دامنه فاصله، مأخذ نقشه نخواهد بود. بلکه عبارت خواهد بود از فاصله با نقطه ای در ارتفاع n در بالای مأخذ. این تغییر شکل، باعث سروز تأثیرات LAY over می شود. اختلاف ارتفاع موجب سایه می شود همانند نگاره (۱-۲). با جایه جایی سکو، انحراف پیشتری ایجاد خواهد شد.

رادار SAR، هندسه مشاهی دارد. اما وضیعت آزمیوت (azimuth) با پردازش سیگنالهای دریافتی در یک فاصله زمانی اولاً با انجام فیلترگذاری در هر پالس برگشتی مطابق است. ثانیاً با بررسی تاریخچه Doppler و تعیین صفر Doppler محسوبه می شود.

صفر Doppler و تعیین صفر Doppler را زمانی به دست می دهد که در آن هدف، تراک ماهواره شناس داده شده، بر پردار سرعت

در چهارمین کارگاه GeoSAR و سمینار OEEPE نتایج به دست امده در مورد داده های مربوط به مدل چشم انداز دیجیتال گزارش شده است.

۳-۲ فاز دوم ارزیابی geocoding

قرار بر این شد که تصویرهای geocoded برای ارزیابی بیشتر به سازمانهای نقشه برداری سپرده شود. نقاط کنترل زمین به سازمانهای نقشه برداری نیز داده شد. اما مراکز نقشه برداری تهابه کمک نقشه های پخشی از ناحیه مورد بررسی، دقت تصویرهای geocoding را تست کرده و از تصویرها جویی تهیه نقشه های توپوگرافیک استفاده کردهند.

فاز دوم توسط هیچ کدام از شرکت کنندگان کاملاً اجرا نشد (به واسطه فقدان منابع و تجهیزات مناسب). سه شرکت کننده کار ارزیابی تصویر geocoding را انجام دادند و گزارش کار آنان در بخش شش آورده شده است.

۳-۳ داده های تست:

محدوده تست در ناحیه شهر فرانکفورت بود. این محدوده نقشه ۱:۵۰۰۰۰ شهر فرانکفورت را در برگرفت. در ناحیه Hess (Hess) که در سال ۱۹۸۹ میلادی تنظیم شد. بیش بینی Gavss-Kruger (Transverse Mercator) Postdam بود. کار برده شد. گوشه های این ناحیه در مختصات جغرافیایی

upperleft $08^{\circ}20' E : X=345207.40m$

$50^{\circ}12' N : Y=5562735.94m$

upperright(N.W): $08^{\circ}20' E : X=3452208.84m$

$50^{\circ}12' N : Y=5562576.39m$

Lowerleft $08^{\circ}20' E : X+3452208.84m$

$50^{\circ}00' N : Y=5540332.79m$

Lowerright(S.W): $08^{\circ}40' E : X=3476104.35m$

$50^{\circ}00' N : Y=5540332.79m$

ناحیه ای که در تصویر (۱-۳) دیده می شود نقشه خلاصه شده به مقیاس ۱:۲۰۰۰۰ نگاره (۳-۲) است.

SAR.PRT (۳-۲) است تصویر ناحیه ماهواره ای SAR.PRI نگاره است.

تصویر بُرد زمینی ERS-1:ESASAR.PRI تصاویر ماهواره ای

ESASAR.GEC ellipsoid geocod تصویر

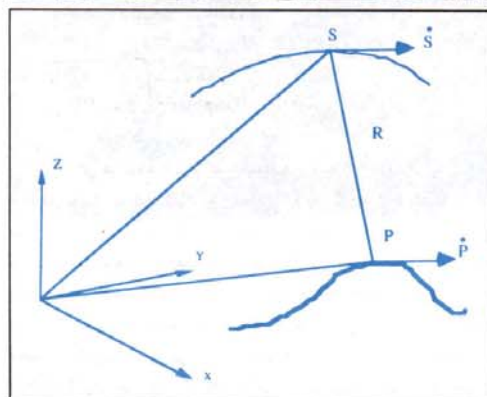
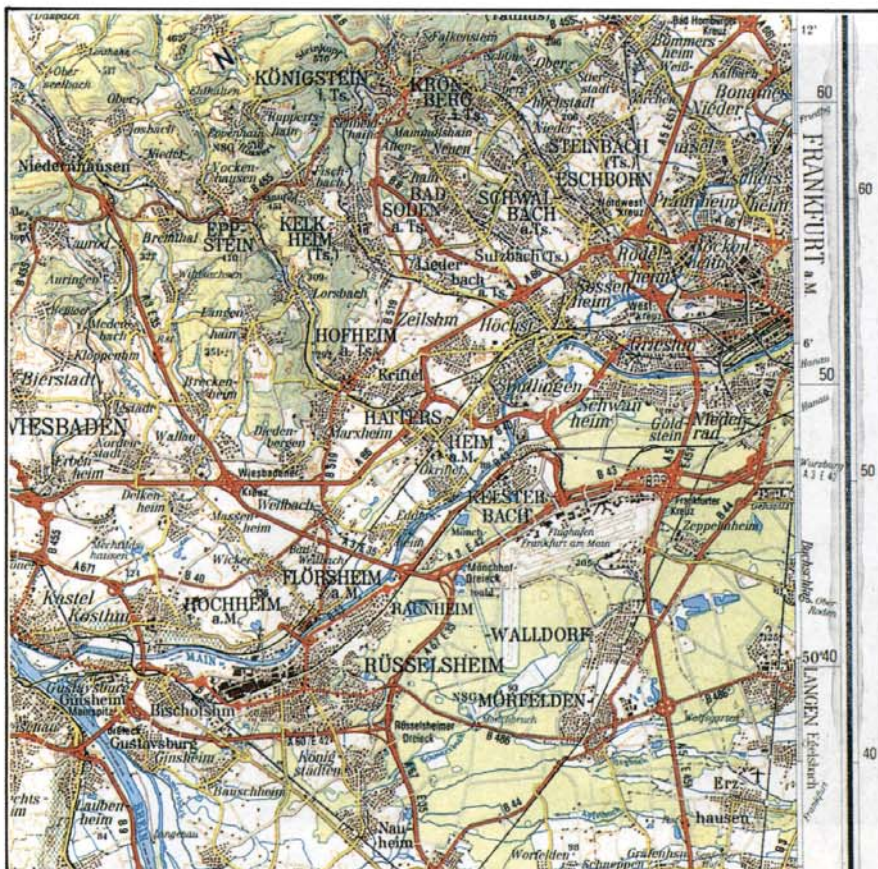
ESASAR.GTcterrain geocod تصویر

DLR Slant تصویر بُرد

● داده های مدار:

این مدار اوّلین مدار تعیین شده توپوگرافیک عمل کننده ماهواره برای ESA بود.

- DEM: سری داده های مربوط به محدوده ۲۰×۲۰ کیلومتری



تصویر (۴-۱): اساس رابطه هندسی در SAR

۳۵ دوره هشتم، شماره بیست و نهم /

ستجنه عمود است. پس وضعیت تصویر به صورت slantrange آزیمут (azimuth) داده می شود.

روند geocoding با تعیین نقاط مربوطه در تصویر با مختصات (i,j) و زمین (P) با مختصات (xp,yp,zp)، تغییر شکل مقدار رادیومتریک در تصویر وضعیت مربوطه زمین، سروکار دارد. رابطه اصلی میان وضعیت ستجنه (S) و وضعیت زمین (P) داده شده در سیستم هماهنگ مربوطی می باشد:

$$R = 1S - P \quad [1]$$

$$FD = \frac{Z}{\lambda \cdot R} (s - p) \cdot (s - p) \quad [2]$$

در معادله فوق در زمان داده شده :

$$R = R_{\text{دامنه شب}}$$

$$(X_s, Y_s, Z_s) = S$$

تصویر (۳-۲)
 تصویر SAR
 نشان دهنده
 محدوده تست
 در گوشه
 شمال غربی



اصلاح تأثیرات اختلاف ارتفاع کاهش پیدا می‌کند. می‌توان کاهش جایه‌جایی زمین را با گرفتن میانگین ارتفاع زمین، در مدل بیضی اصلاح کرد. در معادلات $(j,i)P$ همان P در نظر گرفته می‌شود که بردار سرعت زمین در نقطه‌ای است که قابل تعیین است. پس مسئله، یافتن مختصات $(j,i)P$ تصویر است. که در این اطلاعات داشتن مدار ماهواره لازم است. و معمولاً با داده‌ها ارایه می‌شود.

فرکانس Doppler نیز می‌باید مشخص باشد. این مقدار با تصاویر ERS-1 معمولاً برابر صفر است پس یافتن وضعیت مدار S^* و سرعت مربوطه S اول و آخر، زمان نیز نسبت به همان نقاط ثابت مشخص می‌شود. مدار ماهواره با دقت نسبی مشخص می‌شود. اما این مدار با توجه به نوع ماهواره تغییر خواهد کرد. برای انجام آنرا زمانی تعبیر کرد که در آن، نقطه فوق تعیین شده است. پس می‌توان زمان و دامنه را به مختصات خط و نمونه موجود در تصویر تبدیل کرد. برای انجام این تبدیل، نقطه رابط بین تصویر و ماهواره را باید مشخص کرد. این اطلاعات در داده‌های بالای تصویر به شکل زمان و دامنه Pixel اول و آخر تصویر،

S = بردار سرعت سنجنده

P = بردار وضعیت نقطه (XP, YP, ZP)

P = بردار سرعت نقطه

Doppler = فرکانس FD

λ = طول موج رادار

برای هر نقطه تصویر که با مختصات $(j,i) pixel$ (j,i) تشریح شده، دامنه‌ای نسبت به نقاط ثابت روی تصویر در نظر گرفته می‌شود. به عنوان مثال pixel اول و آخر، زمان نیز نسبت به همان نقاط ثابت مشخص می‌شود. مدار ماهواره با دقت نسبی مشخص می‌شود. اما این مدار با توجه به نوع ماهواره تغییر خواهد کرد. برای geocoding معمولاً تبدیل (ترانسفورماتیون) عارضه بر تصویر استفاده می‌شود. با این روش، مختصات P در تصویر خروجی مشخص می‌شود. ارتفاع از مدل دیجیتال (DEM) گرفته می‌شود. اگر DEM در دسترس نباشد باید از مدل زمینی مثل بیضی استفاده کرد. اما در آن صورت دقت geocoding به واسطه عدم

داده می‌شوند.

این پروسه را می‌توان بدون کنترل زمینی انجام داد (در صورتی که رابطه بین تصویر و وضعیت مدار با دقیق کافی داده شده باشد)، چنانچه دقیق کافی موجود نباشد باید از نقاط کنترل زمینی استفاده کرد.

روند محاسبه ابتدئی بر روش فوق، در نگاره (۴-۱) آورده شده است.

من توان داده‌های ERS-1 SAR را به صورت تصویر مركبی به دست آورد، که تصویری یک بعدی است (SAR SLC) و با تصویری ساچند دید زمینی معنی SAR geocoder (SAR.PRI) برای ورود یکی از این فرآورده‌ها طراحی می‌شوند. چنانچه از تصویر برد زمینی استفاده شود، آنگاه باید یک مرحله اضافی جهت تبدیل بُرد محاسبه شده انجام داد.

نماصی شرکت کنندگان در تست geocoding از این روش استفاده می‌کنند. خلاصه‌ای از تمامی روشها همراه با تفسیرهای دریافتی در بخش (۴-۳) آورده شده است.

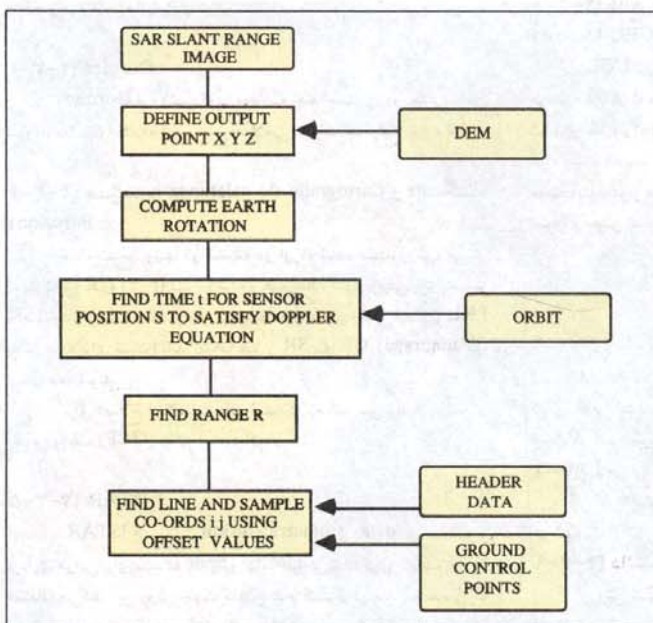
۴-۲ محصولات جانبی (فرعی)

از تست geocoding فرآورده‌های جانس (فرعی) می‌توان به دست آورده که به ارزیابی و کاربرد و تصویر geocoding کمک می‌کند. فرآورده‌های اصلی، ماسکهایی هستند که توافق سایه و Layover را نشان می‌دهند. (تصویری که از DEM نیز محاسبه می‌شود آن هم برای نشان دادن این مطلب به کار می‌رود که کدام ناحیه از تصویر اصلی با تصویر geocoded باشد. محصول دیگر، ماسک زاویه Layover می‌باشد. شکل اصلاح شده این محصول، نقشه انحری است که تلاقي حقیقی را نشان داده و شب زمین و وضعیت آن را در هر اسکن به حساب می‌آورد. شکل اصلاح شده این محصول، نقشه انحری است که محدوده مربوط به زمین و جهت آن نسبت به سنجنده sensor را تعیین می‌کند. این محصولات به تفصیل در مقالات Meier و Dowman سال ۱۹۹۳ میلادی و Dibgiran سال ۱۹۹۳ میلادی شرح و بحث شده است.

۴-۳ نتایج و روش‌های شرکت کنندگان

۴-۳-۱ مقدمه

در این بخش مختصراً از روش شرکت کنندگان ارایه می‌شود. جزییات بیشتر مربوط به روشها در ضمیمه دو سپس خلاصه و بحث نتایج در بخش پنجم آورده شده است.



نگاره (۴-۲): مراحل ژئوکدگذاری برای تصاویر مایل

DLR (۴-۳-۲)

پردازش‌های آلمانی (PAF) و تسهیلات بایگانی، مستول ارایه فرآورده‌های geocoded برای ESA هستند. فرآورده‌های اصلی، محصول (SAR.GTC) geocoded ellipsoid (SAR.GEC) و زمین (SAR.GTC) geocoded هستند. هر دوی این فرآورده‌ها برای تست توسط DLR ارایه شدند.

الگوریتم geocoding به کار رفته توسط DLR، روند مذکور را در نگاره (۴-۳-۲) (توسط Roth و Dibgiran سال ۱۹۹۳ میلادی و Meier سال ۱۹۹۳ میلادی) دنبال می‌کند. برای هر حالت زاویه‌ای، تصاویر SAR (بُردارهای تندی و موقعیت‌های سنجنده محاسبه و سپس ذخیره شده‌اند).

انتقال فرکансی (FD) Doppler (FD) برای هر نقطه و با مقایسه شد و در پردازشگر SAR مورد استفاده قرار گرفت. مقایسه این دو مقدار، امکان ارزیابی وضعیت جدید ماهواره و کار مجدد را امکان‌پذیر می‌سازد. نقاط کنترل زمینی (GCP) در علایق فرآورده‌های بکار رفته و ارزیابی کیفیت محصول نیز مورد استفاده قرار می‌گیرند. DLR جواب می‌دهد که مورد سعیانی و شاخض در تولید محصول geocoded اصلاح شده زمین برای این تست عبارتند از: اندازه‌گیری دستی نقاط tie در کل مسایل و کسب و انجام ها به

۴-۳-۸) کالج دانشگاه شهر لندن و آزمایشگاه تحقیقی GEC Marconi برای geocoded از UCL

موسسه تحقیقات دفاعی بریتانیا استفاده کرد. این روش نیز از روش نشوح شده در نگاره (۵-۲) تبعیت می‌کند. طرح "Tie Pointing" به کار برد شده است. که بعد از انتقال عوارض به تصویر GCP ها را ارایه کرده، و مختصات تصویر محاسبه شده را با مختصات اندازه‌گیری شده، مقابله نموده و سپس تصویر را به شکل زیر اصلاح کرد است.

$$dc = c + bi + aL^2$$

دامنه خطای آزموت :

دامنه یا آزموت مختصات : ۱

a,b,c: ضرایب

تست نشان داد که در غالب موارد، انتقال range, azimuth تصویر برای اصلاح تصویر کافی است. در برخی موارد جمله خطی در آزموت بهبود کمی ایجاد می‌کند. تغییرات کوچک در موقعیت تصویر و در نواحی نزدیک Layover می‌تواند تغییر زیادی را در موقعیت نظری خود در نقشه، به وجود آوردد. این کار باعث تغییر شکل محدود و سیمی در تصویر Geocoded می‌شود.

۴-۳-۹) دانشگاه فنی شهر وین (Vienna) با روش‌های قبلي متفاوت است روش شهر وین (Vienna) (روش‌های فنی شهر وین) با روش‌های قبلي متفاوت است (روش‌های که در آن از برنامه باندل اجستمنت فتوگرامتری به استثناء داده‌های مداری استفاده می‌شود. در حالی که از محاسبه ضرایب چندجمله‌ای دارای استفاده از نقاط کنترل زمینی استفاده می‌شود). برنامه باندل اجستمنت ORIENT خوانده می‌شود. برای تشریح مدار و پارامترهای تصویر جهت مقیاس و امتداد تصویر برداری، از چند جمله‌ای درجه نه (۹) استفاده می‌شود. این روش به هنگام استفاده از داده‌های aircraft scanner نتیریج می‌شود.

۵) نتایج ژئوکدگذاری

نتایج حاصله باقیمانده نقاط کنترل کمتر از ۲۰ را نشان می‌دهد، که سازگار هستند و نشان می‌دهند که SAR geocoding با این دقت، امکان پذیر است و با الگوریتمهای مختلفی می‌توان به این استاندارد رسید. هیچ یک از شرکت‌کنندگان برای ارزیابی نتایج خود از نقاط کنترل (cheek) استفاده نکرده‌اند. این کار چند دلیل داشت. Thomsan - CSF - حس می‌کرد که نقاط کنترل (Check) موجود به حد کافی برای بررسی نتایج او دقیق نیستند. دیگر شرکت‌کنندگان، مشکل یافتن نقاط کنترل خصوصاً در نواحی پهراهای را گزارش کردند. اختلال دارد که برخی اختلافات مشاهده شده بر دقت روش‌های به کار رفته، مبنی باشد. تغییر شکل ZD Dornier relief نتایج را اصلاح نمی‌کند و نتایج وینها (viennner) انبساط خوبی با کنترل دارند. اما نتایج دارای دقت کمتر در نقاط نشوه حاصل، استفاده از باندل اجستمنت و خطاهای نشوه است. جدای از این موارد، نتایج به نوبه

هنگام وجود مأخذهای متفاوت.

۴-۳-۱۰) Dornier

Dornier از روشی که با محاسبه چند جمله‌ای دو بعدی خطی سروکار داشت، استفاده کرد و هیچ اصلاحی در اختلاف ارتفاع انجام نداد.

۴-۳-۱۱) مؤسسه Cartografic de catalunga و دانشگاه Barcelona

مقاله شرح روشها در ضمیمه دو آورده شده است. روش، همان است که در نگاره (۳-۲) تشریح شده و هیچ نقطه کنترل زمینی برای تصویر SR مورد نیاز نیست. اما در صورت استفاده از تصویر زمینی (تصویر PRL) به کار رفته برای تست (GCP) ها از SR به GR ها از انتقال داده شوند.

برای اصلاح اطلاعات داده شده در زمان، می‌توان از اولین و آخرین ردیف (GCP) ها نیز استفاده کرد.

۴-۳-۱۲) ISTAR

ISTER از روش "data geometric fusion" و تصویر برداری هوایی برای سیستم Spot و نهایتاً طراحی شده برای سیستم SAR استفاده می‌کند. این روش جهت کاهش نقاط کنترل در مدل هندسی با وزنهای متفاوت استفاده می‌کند. راه حلها نسبت به وزنهای بسیار حساس هستند.

ISTER همچنین از داده‌های ETOPO ۵ نیز استفاده کرد. وی نشان داد که این روش در مقایسه با سایر روشها نتایج بهتری را به دست می‌دهند.

۴-۳-۱۳) Thomson - CSF

شرح کار انجام شده توسط Thomson نیز از روند استفاده مشابه حکایت می‌کند. اما GCP را در حل مسایل به کار گیرد. از مدل geometric Fusion تصحیحات مقادیر اولیه نقاط tie استفاده می‌شود. چیزی نشیخه‌گیری می‌شود به هنگام بالا بودن خطاهای اندازه‌گیری، تعديل وضعیت نقطه tie ضروری است. این روش خصوصاً زمانی مفید است که SAR باید با داده‌های دیگر سنجنده‌ها ترکیب شود.

۴-۳-۱۴) Telespazio

پردازش‌های ایتالیایی (PAF) و تمهیلات بایگانی را به کار گرفته است. روش به کار رفته برای تست، همان روش به کار رفته توسط PAF است. هر دو تصویر geocoded زمین و بیضی قابل تولید هستند. تبدیل (ترانسفورماتیون) توسط استخراج نقاط شبکه بر روی تصویر انجام می‌گردد. سپس پارامترها برای هر نقطه از شبکه محاسبه شده و نقاط درون شبکه‌ها واسطه‌بایی^۳ می‌شوند.

جدول (۵-۱)

Organisation	Tie points			Check points			Map points		
	No	E(m)	N(m)	No	E(m)	N(m)	No	E(m)	N(m)
Dornier (2D transformation only)	16	30	57						
DLR	35	12.3	10.3	9	9.2	4.8			
ICC	25	18.4	13.4	23	17.4	18.9	16	18.6	21.0
ISTAR	31	8.7	8.0	27	11.4	8.0			
Telespazio				17	60.5	36.0			
GEC							30	17.9	18.5
GTC									
Thomson CSF									
Adj without tie points	35	12.0	10.8						
Adj with tie points	35	1.6	0.5						
TU Vienna	35		5.0						25.0
University College London	7	4.0	8.5						

داده‌های دیگر ماهواره‌ها برسی و انجام شد. در تصویر d از فاز یک تست geocoding و دیگر داده‌های مدل چشم انداز دیجیتال OEEPE نیز در دسترس قرار داشت. داده‌های زیر مورد استفاده قرار گرفتند:

ERS-1 SAR geocoded scene by DLR

ER-1 SAR geocoded scene by TU Vienna

Landsat - TM7 bands of the Thematic Mapper

KFA-1000 Spaceborne Carnerea orthophoto

تصاویر به صورت هندسی ثبت و با استفاده از ادغام باندهای مختلف تصویر ارزیابی می‌شود. دقت هندسی تصویر حاصله نیز به دست آمد که در پاراگرافهای زیر تابع اصلی به اختصار آورده می‌شوند.

خط ساحلی رودخانه Main در منطقه شهر فرانکفورت، ساده‌ترین

محل بخش قابل ترسیم است. این منطقه مشخص ترین بخشی است که به وضوح در تمامی تصویربرداری‌ها از جمله مکانهای SAR قابل رویت است.

مشخص کردن رودخانه‌ای کوچک مشکل است. و در سیاری از موارد با دیگر عوارض خطيّ مثل جاده‌های درجه دوم اشتباه گرفته می‌شوند

(به واسطه شباهت الگوی نضایی خود). دیگر سترهای آئی متل برکه‌ها نیز با مکانهای Landsat - TM

ادغام شده که با داده‌های SAR به سادگی قابل ترسیم است. در حالی که به صورت مبهم در SAR/KFA-1000

دیده می‌شود. در تصویربرداری SAR ساخته‌ها به واسطه ابعاد کوچکشان، جزء عوارضی هستند که درست نشان داده نمی‌شوند. در تصویر

راداری تنها می‌توان مراژه‌های مناطق شهری را تشخیص داد. ساخته‌های

بزرگ، نواحی صنعتی و فروشگاهها بسیار مبهم (گنج) نشان داده می‌شوند.

◆

دوره هشتم، شماره بیست و نهم / ۳۹

خود قابل طرح هستند. مسئله اصلی، به دست آوردن DEM‌های مناسب و در صورت دسترسی به آنها تبدیلشان به مأخذ لازم است. گفته شد که کاهش دقت geocoding با فاصله گذاری DEM تا ۲۰۰ m تا سطربی کنده می‌شود. البته الگوریتمهای طراحی شده‌اند که بدون نقاط Tie کار می‌کنند. اما برای کنترل کردن و اصلاح انتقال سیستماتیک، به کنترل نیاز داریم همان طوری که قبلاً ذکر شد انتخاب نقاط Tie یک روش دستی (مکانیکی) وقت‌گیر است. به هنگام کنترل کردن مسئله، نتایج مسابه‌ی بروز می‌کند زیرا به انتخاب تعداد زیادی نقطه نیاز داریم. تلویزیون شهر وین (TV Vienna) کاربرد ویژگی‌های انتباش شده از نوشی را آزمود. اما بعداً به مسائل مسابه‌ی رسید. خصوصاً در نواحی مرتყعی که از ویژگی‌های فرهنگی پرخوردار بودند.

(۶) کاربرد SAR در نقشه‌برداری

(۶-۱) پرسی:

SAR در فاز دوم است، سه سازمان شرکت کرده و کاربرد داده‌های SAR را در نقشه‌برداری ارزیابی کردند. این سه سازمان عبارت بودند از: کالج دانشگاه شهر لندن، دانشگاه کشاورزی کشور نروژ، دانشگاه فنی (صنعتی) وین. کار انجام شده توسط هر کدام از آنها متفاوت بوده و به صورت مجزا گزارش شده است.

(۶-۲) کالج دانشگاه شهر لندن:

در UCL، تعیین کاربری داده‌های SAR نقشه‌برداری همراه با

نقشه‌ای به مقیاس ۱:۵۰۰۰۰۰ به صورت رقومی تهیه گردید و برای برقراری ارتباط عوارض نقشه و تصویر از رابطه خطی استفاده شد.

۱۲ دوازده ویژگی از شانزده مورد فوق به صورت موقیت آمیزی با عملیات سازگار (متطبیق) بوده و باقی ماده $X = 1/5 \pm 1/20^m$ و $Y = 0/4 \pm 2^m$ را به دست داد. این امر نشان می‌دهد که به هنگام استفاده از عوارض خطی یا هوائی می‌توان به ارتباط خوبی رسید. البته این مطلب به مشخص کردن ویژگی‌های منطقه‌ای کمک نمی‌کند. این روش قابلیت خودکار شدن (اتوماسیون) را دارد. تابع دیگر وین، اختلاف زیادی را در حاشیه‌های تصویر geocoded بین دو محصول geocoded تولید شده توسعه OLR و وین نشان دادند.

(۶-۵) اظهارات گلی

ارزیابی پتانسیل داده‌های ERS-1 SAR برای نقشه‌برداری توبوگرافیک، در فاز دوم تست انجام شد. داده‌ها را بعد از ادغام، با داده‌های تصویر ارزیابی کرده و نشان داد که عوارض فرهنگی را می‌توان از روی داده‌های رادار و سیستم پوشش Thematic Mapper و درین مفیدتر است. تابع استفاده از داده‌های تصویر میکروویو KFA-1000 Spacebarn مقایسه شد. میزان اطلاعات کمی را (بدون تأثیر داده‌های نقشه) می‌توان می‌نماید، میزان اطلاعات کمی را (بدون تأثیر داده‌های نقشه) می‌توان به دست آورده، دقت راضی‌باش بخش نبودن (در مقایسه با دقت به دست آمده از داده‌های Landsat - TM و پا داده‌های سوری حاصل از KFA-1000). اگر داده‌های موجود مورد استفاده قرار گیرد، می‌توان عوارض جدیدی را شخص و نقشه‌برداری کرد.

قابلیت کشف عوارض در تصویربرداری ERS-1 geocoded SAR قابلیت کشف عوارض در تصویربرداری ERS-1 geocoded SAR ۱۲/۵ M Pixel زمینی به وضوح ۱۵/۵ M بازتاب ماهیت مکانیزم بازتاب فضایی واکنش هدف را کنترل کرده و انحرافات هندسیّ توانی خصوصاً ناقاطی ایجاد می‌کند. دقت تقطیعیابی در داده‌های ERS-1 SAR می‌تواند توجهی را که با موقیت GCP ها در مرحله اصلاح سروکار دارند، کیفیت هندسی تصویر geocoded را تعیین می‌کند.

به دست آورده داده‌های ERS-1 SAR با ارتوسوفوتو KFA-1000 مخصوصاً با باندهای TM - Landsat - شیوه بسیار خوب در افزایش اطلاعات فضایی است. عوارض قطعی در تصویرهای زنگی و بدون کمک نقشه راحت تر تفسیر می‌شوند.

مشتران دانشگاه کشاورزی نرود تفسیر تصاویر SAR را مشکل یافته‌اند و تصویربرداری نوری را برگزیدند. آنها فکر می‌کردند که این امر تغییر کیفیت خروجی را افزایش خواهد داد.

(۷) نتیجه گیری:

تمدادی از شرکت کنندگان در این پژوهه به بررسی خواص داده‌ای geocoded SAR پرداختند. آنها نشان دادند که در داده‌های SAR روش شناسی وجود دارد و در صورت دسترسی به دقت DEM

خانه‌های مناطق مسکونی مشخص نمی‌شوند. زنگ ترکیبات (اجزاء) تصویر، به مشخص سازی خصوصاً در تمایز ساخته‌های مختلف در نواحی بازکمک می‌کند. جاده‌های اصلی را می‌توان بدون استفاده از نقشه، در سری داده‌ها (به جزء بنایهای SAR مجزا) به راحتی تشخیص داد. در تغییر جاده‌های اصلی در نواحی شهری و ساخته‌های به صورت مجزا مشکلاتی پدید می‌آید.

دقت نسبی ثبت با اعمال نقشه مرجع در تصاویر دوباره برداشته شده، تایید می‌شود. میزان دقث در نواحی مستطی و در جایی که بیشتر GCP ها واقع شده‌اند، نسبتاً خوب است. انتطباق تصویر در طول رودخانه‌ها، جایی که موقعیت GCP ها در پایه ساده است، بسیار خوب است. تصویر SAR در نواحی غیرمستطی به واسطه مشکلات انتخاب GCP، تناقض زیادی را نشان داد.

استفاده از داده‌های ERS-1-SAR به منظور نقشه‌برداری توبوگرافیک به واسطه ماهیت خود مشکلاتی ایجاد می‌کند. داده‌های فضایی آپنیکی از دیگر متابع نشان می‌دهد که ترسیم مستقیم به مراتب مقیدتر است. تابع تفسیر بعدی داده‌های SAR همراه با نقشه منطقه (به منظور مرور نقشه) و یا صراحت با داده‌های چندطبیعی شان دادند که کاربرد بهتری دارند. ثبت دقیق، مهمترین مرحله پیش از پردازش است در صورتی که داده‌ها به این طریق به دست آیند و تست geocoding شان داد که کارآبی زیادی در انجام این کارها دارد.

(۶-۳) دانشگاه کشاورزی کشور نروژ:

روش دیگری را در ارزیابی داده‌های نقشه‌برداری به کاربرد از سری داده‌های ارایه شده توسعه دانشگاه فنی وین، پنج ناحیه فرعی ۴۰۰ خط در پانصد Pixel انتخاب شد. برای هر منطقه تفسیر عینی، مستقیماً از روی صفحه نمایش سیستم پردازش تصویر ERDAS انجام شد. هر منطقه به وسیله یک نفر تفسیر شد و این گزارش به عنوان پرونده در کار تفسیرهای سایر مفترسین ثبت شد. تمامی مفترسین دریافتند که ظاهر شلوغ تصویر ERS-1-SAR در مقایسه با تصویرهای سنجنده‌های sensors نوری در زمین بر بازتاب سیگنال رادار نیز مسئله می‌باشد زیرا داده‌ای نواحی geocoding را که با Layover اصلاح شده‌اند، محو می‌کند. تصویرهای ماهواره‌ای سنجنده‌های sensor نوری در کل، برای مقاصد نقشه‌برداری و برای مفترسین شرکت کننده در تست ارجحیت دارند. البته تصویرهای ERS-1 SAR برای برخی کاربردها مقید هستند و در کل این نوع نقشه داده‌های ماهواره تصویر Spot و Landsat با ارزشی را به دست می‌دهند.

(۶-۴) دانشگاه فنی (صنعتی) شهر وین:

Killiany در سال ۱۹۹۱ میلادی روشی را در ثبت تصاویر با استفاده از عوارض زمین ارایه کرده است. این روش در داده‌های SAR شهر فرانکفورت به کار برده شده است. ۱۶ ویژگی کنترل زمینی مشخص شد و

پارامترهای متعدد، باید ارزیابی شوند. علی‌رغم مسائل تغییر تصویربرداری را در در کاربردهای نقشه‌کشی، این روش در جامعه داشتماندان، به عنوان سنجنده (sensor) (کارآمد مشاهدات زمینی در نظر گرفته شده است. این حقیقت که روش فوق مزیتهای نسبت به دیگر سنجنده‌ها (sensor) دارد، مانند ارایه نصای سی‌نفیزی از زمین و تداوم عرضه داده‌ها و همچنین دسترسی به داده‌ها و قابلیت ارایه اطلاعات در تمامی شرایط جوی، محققین را به تمرکز برروی پیشرفت بیشتر تکنیکها و برای به دست آوردن نتایج بهتر سوق داده است. این موارد عبارتنداز استفاده از داده‌های SAR نیمه گذرا و تداخل داده‌های Multisensor، تکنولوژیهای بعدی در این ارایه می‌کنند.

انجام این پروژه نشان داده است که داده‌های SAR را می‌توان به صورت هندسی و با دقت بالایی اصلاح کرد. اما در مشخص کردن نقاط کنترل زمینی و تفسیر ویژگیها، مسائل فرازنده‌ای وجود دارد. البته زمانی که قابلیت کار SAR در تمامی شرایط آب و هوایی مطرح می‌شود اطلاعات ذی قیمتی به دست می‌دهد به دست آوردن آنها با دیگر مسائل امکان پذیر نیست. در این موارد اصلاح و ثبت داده‌ها ضروری است. □

تصویر ortho حاصله را می‌توان با یک نقشه ۱:۵۰۰۰۰ ثبت کرد. روشن است که روش‌های geocoding برای بردازش ESA و بایگانی (PAF) توسط DLR ارایه شدند. مؤثرترین روش‌های اقتباس شده از اصلاحات فن‌گرامتریک دسته‌ای هستند و نمی‌توانند نتایج یکسانی را به دست دهند. البته آن‌ها باید شرایط ویژه‌ای برای استفاده از داده‌های SAR داشته باشند. در نواحی دارای پرجستگی‌های کم، روش‌های دیگری geocoding را می‌توان به صورت کارآمدی مورد استفاده قرار داد.

در فاز دوم مسائل تفسیر داده‌ای SAR مشخص شده است. برای بهبود کیفیت تصویر پیشنهاداتی ارایه شده است. تکنیکها و مزایای ادامه SAR با دیگر داده‌ها نیز نشان داده شده است.

با وجود شرکت سازمانهای متعددی در پروژه، ارتباطی میان پروژه OEEPE و مدل چشم‌انداز دیجیتال اروپایی (DLME) وجود داشته است. لذا یک کارگاه مشترک برپا شده که به بررسی و بحث مفیدی انجامید و در نتیجه برخی کاربردهای داده‌های SAR مشخص شده که عبارتنداز نشان دادن طوفان و طغیان، زمین‌شناسی، ساحل‌شناسی، سطوح برکه و پوشش زمین (تعییرات راکش می‌کند اما آنرا نمی‌سنجد). قابلیت کار در همه شرایط جوی مزیت مهمی است و می‌تواند به هنگام عملیات نفوذبرداری در طوفان و برف مفید باشد. این کاربردها با استفاده از Interferometric SAR برای بهبود نقشه‌های پیوسته و کشف تعییرات جدید به کار می‌روند همچنین بررسی شد که بناپرسی برای ادغام SAR و نوری و طبقبندی وجود دارد. انتظار می‌رفت که استفاده از داده‌های موطن پالازیاسیون و SAR از SIR-B Multi incidence در خواهد شد.

از روی دو پروژه داده‌های مفیدی، در منطقه فرانکفورت به دست آمده است. این داده‌ها در دسترس داشتماندان قرار گرفته است. وجود DLR داده‌های SAR با صفحه‌های متعدد بهبود پیدا کرده است و توسط IFAG توزیع خواهد شد.

داده‌های DLME را به DLR داده است و این داده‌ها برای توزیع بروی یک exabyte جمع شده‌اند. این داده‌ها موارد زیر را شامل می‌شوند: داده‌های Thematic Mapper سالهای ۱۹۸۴ و ۱۹۸۷، داده‌های رقومی شده raster KFA 1000 و محصولات KFA 1000 از پروژه DLME از این پروژه می‌توان پیشنهادات زیر را ذکر کرد:

- اتوسایون نقاط کنترل زمینی لازم است. این یکی از مسائل SAR geocoding و داده‌های حاصله بعدی است.

- برای معتبرساختن فرآورده‌های به دست آمده از منابع مختلف، به کار فراوانی نیاز داریم. هر کدام از فرآورده‌ها، خطاهای مربوط به خود را دارد. که عبارتنداز: داده‌های تصویر DEM و داده‌های نقشه، برای مشخص کردن این خطاهای به روشنایی نیاز داریم.

- در ارایه داده‌های نوری با SAR، ارایه تکنیکها و مشخص کردن کاربردهای داده‌های SAR به کار فراوان نیاز داریم.

- داده‌های هیات SAR Envisa T, SIR - C , Radarster با

پاورقی:

1) OEEPE

-> Geocoding

سیستم علامت‌گذاری زمینی یک ناحیه

2) Ground controlpoint (GCP)

نقاط کنترل زمینی

3) to Interpolate

واسطه‌بایان کردن